

Few properties of Metals!

Lewis acids

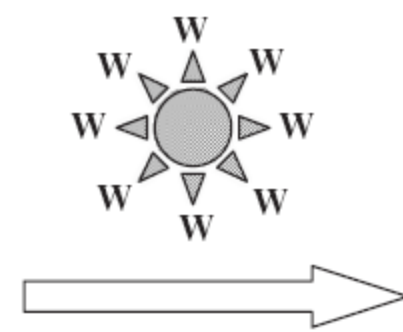
Can form reactive centers inside the proteins

Redox active

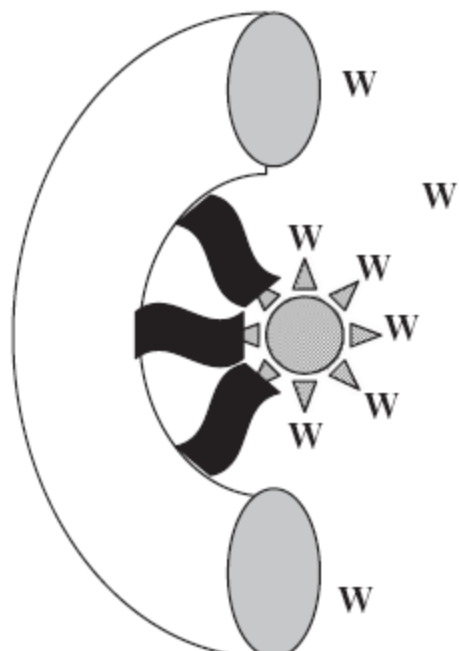
Bind and activate small



Part of a protein



W = Water
= metal binding site



Part of a
metalloprotein

Few basics about Transition Metals!

	ΙΑ	ΙΙΑ											ΙΙΙΑ	ΙⅣΑ	ΙΑ	ΙΙΑ	ΙΙΙΑ
Περίοδος	2																
			ΙΙΙΒ	ΙVΒ	VB	VIB	VIIB	VIIIB				ΙB	IIB				
3			Sc	Ti	V	Cr	Mn	Fe	Co	Ni	Cu	Zn					
4			Y	Zr	Nb	Mo	Tc	Ru	Rh	Pd	Ag	Cd					
5			La*	Hf	Ta	W	Re	Os	Ir	Pt	Au	Hg					
6			Ac**	Rf	Db	Sg	Bh	Hs	Mt	(110)	(111)	(112)					
7																	

*Λανθανίδια	Ce	Pr	Nd	Pm	Sm	Eu	Gd	Tb	Dy	Ho	Er	Tm	Yb	Lu
**Ακτινίδια	Th	Pa	U	Np	Pu	Am	Cm	Bk	Cf	Es	Fm	Md	No	Lr



Μεταβατικά στοιχεία



Εσωτερικά μεταβατικά στοιχεία
(λανθανίδια και ακτινίδια)

ΠΙΝΑΚΑΣ 23.1

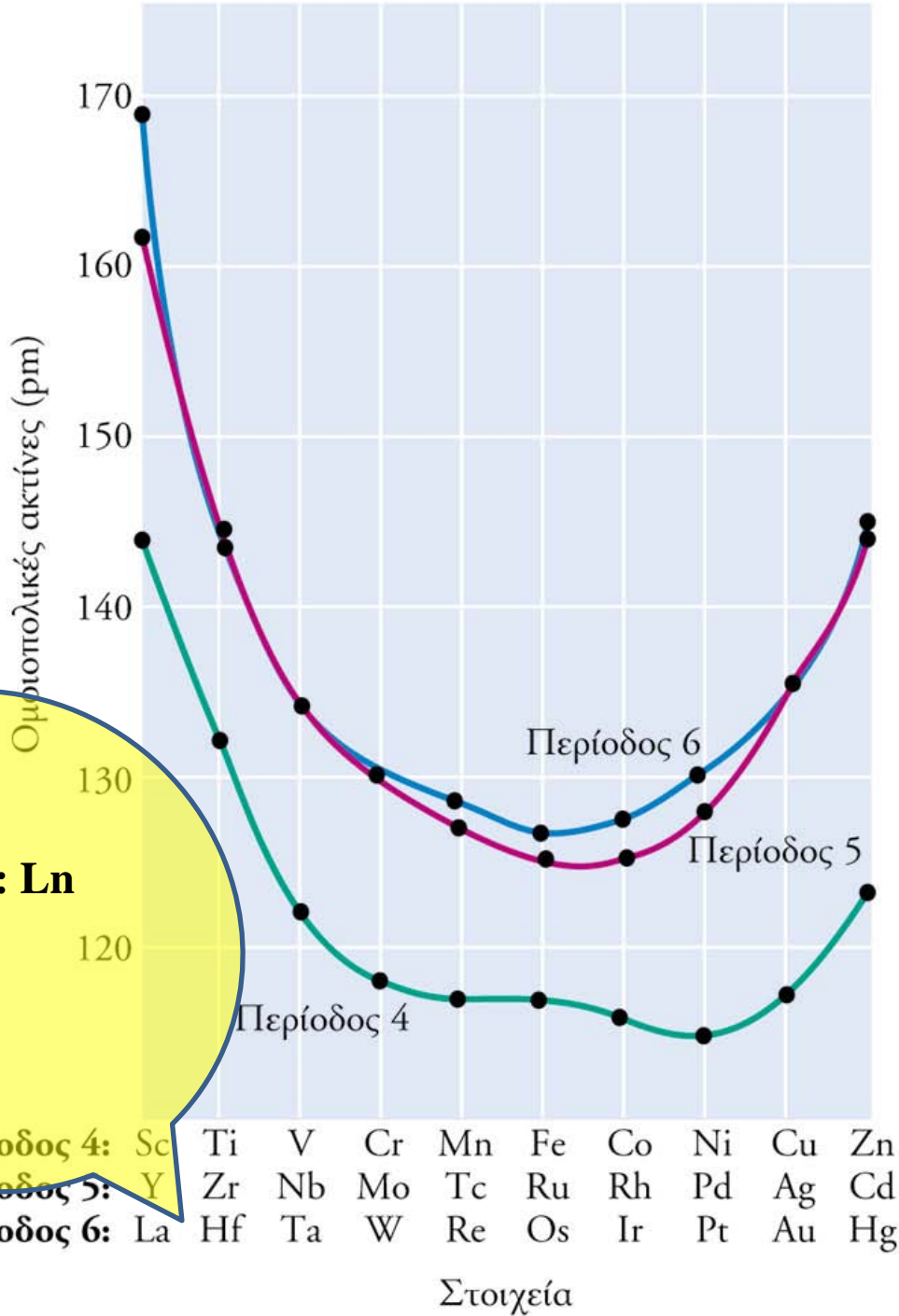
Ιδιότητες των μεταβατικών
στοιχείων της τέταρτης περιόδου

Ιδιότητα	Σκάνδιο	Τιτάνιο	Βανάδιο	Χρώμιο	Μαγγάνιο
Ηλεκτρονική δομή	[Ar]3d ¹ 4s ²	[Ar]3d ² 4s ²	[Ar]3d ³ 4s ²	[Ar]3d ⁵ 4s ¹	[Ar]3d ⁵ 4s ²
Σημείο τήξεως, °C	1541	1660	1890	1857	1244
Σημείο ζέσεως, °C	2831	3287	3380	2672	1962
Πυκνότητα, g/cm ³	3,0	4,5	6,0	7,2	7,2
Ηλεκτραρνητικότητα (κλίμακα Pauling)	1,3	1,5	1,6	1,6	1,5
Ομοιοπολική ακτίνα, pm	144	132	122	118	117
Ιοντική ακτίνα (για M ²⁺), pm	—	100	93	87	81

ΠΙΝΑΚΑΣ 23.1 (συνέχεια)

Ιδιότητα	Σίδηρος	Κοβάλτιο	Νικέλιο	Χαλκός	Ψευδάργυρος
Ηλεκτρονική δομή	[Ar]3d ⁶ 4s ²	[Ar]3d ⁷ 4s ²	[Ar]3d ⁸ 4s ²	[Ar]3d ¹⁰ 4s ¹	[Ar]3d ¹⁰ 4s ²
Σημείο τήξεως, °C	1535	1495	1453	1083	420
Σημείο ζέσεως, °C	2750	2870	2732	2567	907
Πυκνότητα, g/cm ³	7,9	8,9	8,9	8,9	7,1
Ηλεκτραρνητικότητα (κλίμακα Pauling)	1,8	1,8	1,8	1,9	1,6
Ομοιοπολική ακτίνα, pm	117	116	115	117	125
Ιοντική ακτίνα (για M ²⁺), pm	75	79	83	87	88

1-2	3	4	5	6	7	8	9	10	11	12	13-18
<i>s-block</i>						<i>p-block</i>					
Sc	Ti	V	Cr	Mn	Fe	Co	Ni	Cu	Zn		
Y	Zr	Nb	Mo	Tc	Ru	Rh	Pd	Ag	Cd		
La	Hf	Ta	W	Re	Os	Ir	Pt	Au	Hg		



ΠΙΝΑΚΑΣ 23.3

Οξειδωτικές καταστάσεις
των μεταβατικών στοιχείων
της τέταρτης περιόδου

IIIIB	IVB	VB	VIB	VIIB	VIIIB			IB	IIB
Sc	Ti	V	Cr	Mn	Fe	Co	Ni	Cu	Zn
+3	+2	+2	+2	+2	+2	+2	+1	+1	
	+3	+3	+3	+3	+3	+3	+3	+3	+2
	+4	+4	+4	+4	+4	+4	+4	+3	+2
	+5	+5	+5	+5	+5	+5	+4	+4	+2
	+6	+6	+6	+6	+6	+6	+7	+7	+2
	+7								

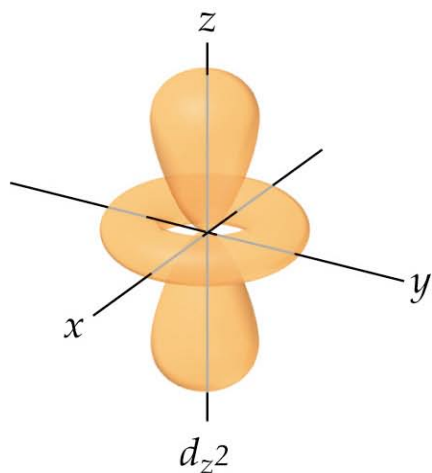
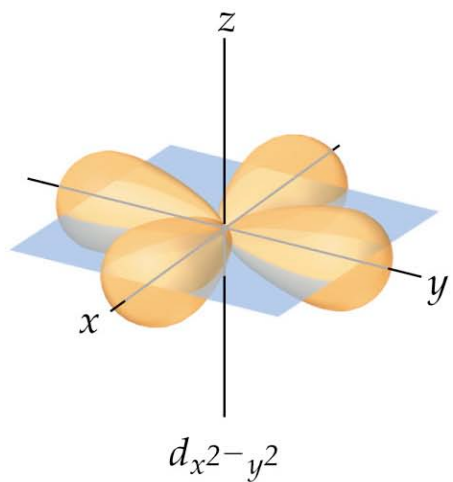
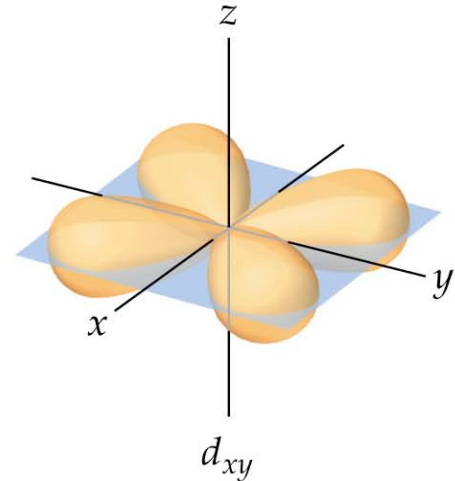
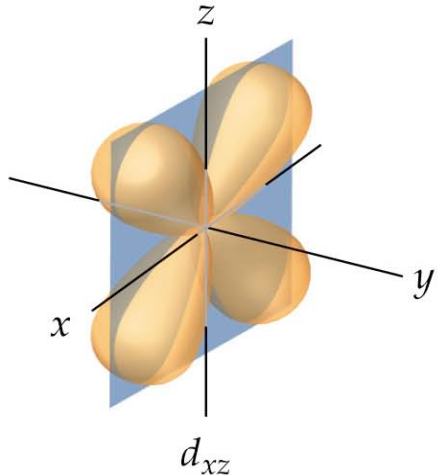
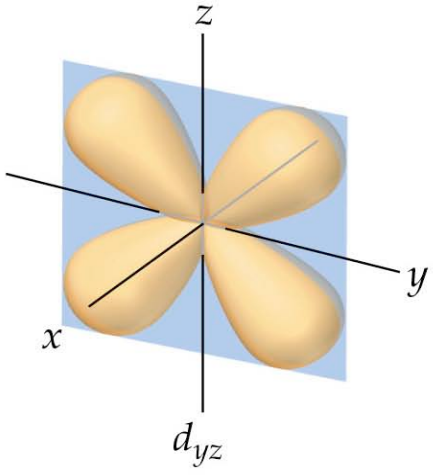


ΠΙΝΑΚΑΣ 23.4

Μεταβατικά μέταλλα απαραίτητα στη διατροφή του ανθρώπου

Στοιχείο	Μερικές βιοχημικές ουσίες	Λειτουργία
Χρώμιο	Παράγοντας ανοχής γλυκόζης	Χρησιμοποίηση γλυκόζης
Μαγγάνιο	Ισοκιτρική αφυδρογονάση	Ενεργητική κυττάρου
Σίδηρος	Αιμοσφαιρίνη και μυοσφαιρίνη Κυτόχρωμα <i>c</i> Καταλάση	Μεταφορά και αποθήκευση οξυγόνου Ενεργητική κυττάρου Διάσπαση υπεροξειδίου του υδρογόνου
Κοβάλτιο	Κοβαλαμίνη (βιταμίνη B ₁₂)	Ανάπτυξη ερυθρών αιμοκυττάρων
Χαλκός	Χαλκοπλασμίνη Κυτοχρωμική οξειδάση	Σύνθεση αιμοσφαιρίνης Ενεργητική κυττάρου
Ψευδάργυρος	Καρβοανυδράση Καρβοξυπεπτιδάση Α (παγκρεατικό υγρό) Αλκοολική αφυδρογονάση	Απόσπαση διοξειδίου του άνθρακα Πέψη πρωτεΐνων Οξείδωση αιθανόλης

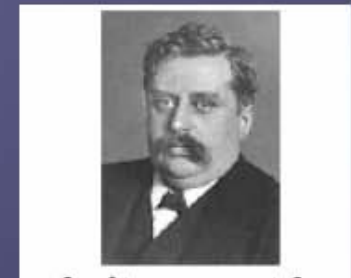
Ας θυμηθούμε τα σχήματα των 3d τροχιακών



The Nobel Prize in Chemistry 1913

Alfred Werner (University of Zurich, Switzerland)

"in recognition of his work on the linkage of atoms in molecules by which he has thrown new light on earlier investigations and opened up new fields of research especially in inorganic chemistry"



Πριν το Werner δεν ήταν γνωστό **πώς** συνδέονται τα άτομα στο μόριο $\text{Pt}(\text{NH}_3)_2\text{Cl}_2$

Οι μέχρι τότε θεωρίες υποστήριζαν γραμμική σύνδεση



O Werner με μία σειρά πειραματικών μετρήσεων πρότεινε **δύο διαφορετικούς τύπους δεσμών στην ανόργανη ενώσεις**

Πρωτεύον σθένος: καθορισμένος αριθμός, προερχόμενος από την εξουδετέρωση φορτίου

Δευτερεύον σθένος: καθορίζεται από το κεντρικό μέταλλο, είναι μη ιοντικοί και έχουν συγκεκριμένο προσανατολισμό στο χώρο άρα μελετώνται με εφαρμογή δομικών αρχών

Δομές που μελέτησε o Werner

ΠΙΝΑΚΑΣ 23.6
Μερικά σύμπλοκα του λευκοχρύσου(IV) που μελετήθηκαν από τον Werner

Παλιός τύπος	Σύγχρονος τύπος	Αριθμός ιόντων	Αριθμός ελεύθερων ιόντων Cl^-
$\text{PtCl}_4 \cdot 6\text{NH}_3$	$[\text{Pt}(\text{NH}_3)_6]\text{Cl}_4$	5	4
$\text{PtCl}_4 \cdot 4\text{NH}_3$	$[\text{Pt}(\text{NH}_3)_4\text{Cl}_2]\text{Cl}_2$	3	2
$\text{PtCl}_4 \cdot 3\text{NH}_3$	$[\text{Pt}(\text{NH}_3)_3\text{Cl}_3]\text{Cl}$	2	1
$\text{PtCl}_4 \cdot 2\text{NH}_3$	$[\text{Pt}(\text{NH}_3)_2\text{Cl}_4]$	0	0

Alfred Werner και η θεωρία του για τις ενώσεις σύνταξης

Παλαιός τύπος	<i>m</i>	<i>n</i>	Τύπος Werner	Ιόντα
$\text{PtCl}_4 \cdot 6\text{NH}_3$	4	5	$[\text{Pt}(\text{NH}_3)_6]\text{Cl}_4$	$[\text{Pt}(\text{NH}_3)_6]^{4+}$ 4 Cl^-
$\text{PtCl}_4 \cdot 5\text{NH}_3$	3	4	$[\text{Pt}(\text{NH}_3)_5\text{Cl}]\text{Cl}_3$	$[\text{Pt}(\text{NH}_3)_5\text{Cl}]^{3+}$ 3 Cl^-
$\text{PtCl}_4 \cdot 4\text{NH}_3$	2	3	$[\text{Pt}(\text{NH}_3)_4\text{Cl}_2]\text{Cl}_2$	$[\text{Pt}(\text{NH}_3)_4\text{Cl}_2]^{2+}$ 2 Cl^-
$\text{PtCl}_4 \cdot 3\text{NH}_3$	1	2	$[\text{Pt}(\text{NH}_3)_3\text{Cl}_3]\text{Cl}$	$[\text{Pt}(\text{NH}_3)_3\text{Cl}_3]^+$ 1 Cl^-
$\text{PtCl}_4 \cdot 2\text{NH}_3$	0	0	$[\text{Pt}(\text{NH}_3)_2\text{Cl}_4]$	δεν δίνει ιόντα

m = moles AgCl που καθιζάνουν ανά mole ενώσεως, μετά από προσθήκη περίσσειας $\text{AgNO}_3(\text{aq})$ (από σταθμική ανάλυση)

n = αριθμός ιόντων ανά τυπική μονάδα ενώσεως (από μετρήσεις αγωγιμότητας)

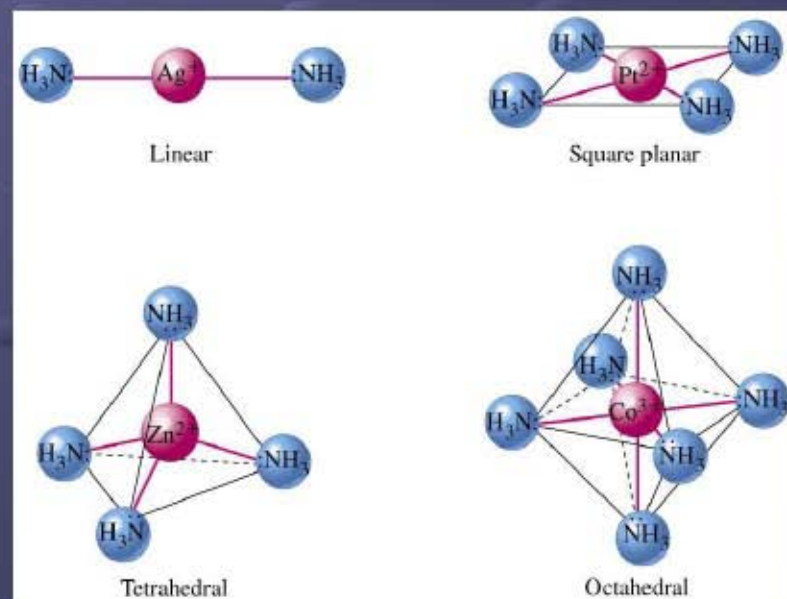
Σήμερα

Ενώσεις συναρμογής : μεταλλικές ενώσεις που σχηματίζονται με αλληλεπιδράσεις οξέος –βάσης κατά Lewis

Σύμπλοκα : έχουν ένα κεντρικό μέταλλο ενωμένο με ένα αριθμό υποκαταστατών. Τα σύμπλοκα ιόντα μπορεί είναι φορτισμένα π.χ. $[\text{Ag}(\text{NH}_3)_2]^+$.

Υποκαταστάτες: βάσεις κατά Lewis

Σφαίρα συναρμογής : το μέρος του χώρου που περιέχει το μέταλλο και τους υποκαταστάτες



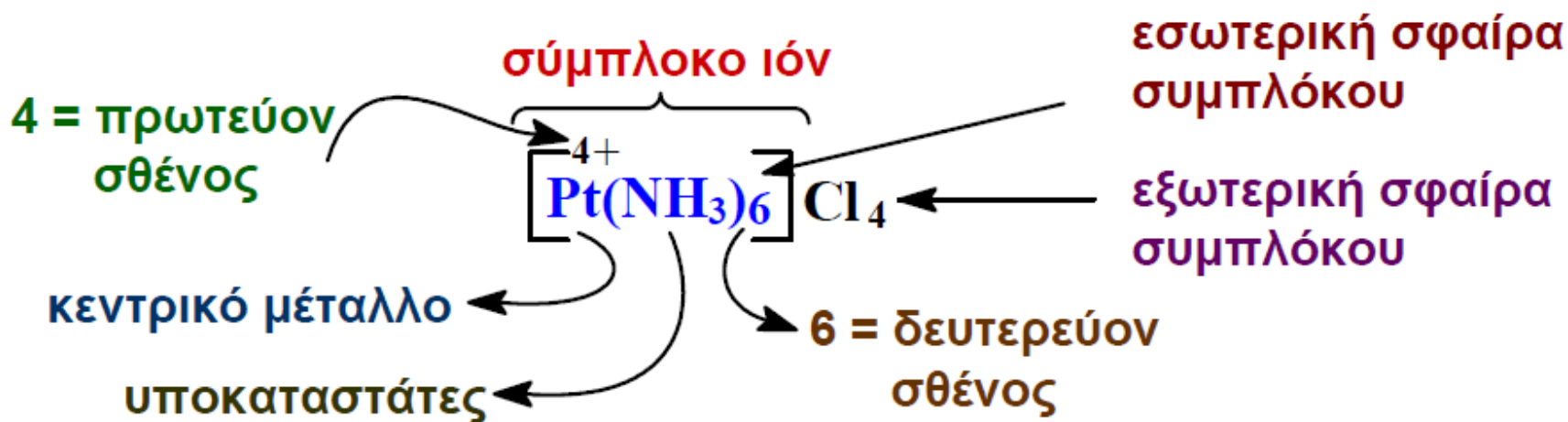
ΠΙΝΑΚΑΣ 23.5

**Παραδείγματα συμπλόκων
διαφόρων αριθμών σύνταξης**

Σύμπλοκο	Αριθμός σύνταξης
$\text{Ag}(\text{NH}_3)_2^+$	2
HgI_3^-	3
$\text{PtCl}_4^{2-}, \text{Ni}(\text{CO})_4$	4
$\text{Fe}(\text{CO})_5, \text{Co}(\text{CN})_5^{3-}$	5
$\text{Co}(\text{NH}_3)_6^{3+}, \text{W}(\text{CO})_6$	6
$\text{Mo}(\text{CN})_7^{3-}$	7
$\text{W}(\text{CN})_8^{4-}$	8

Alfred Werner και η θεωρία του για τις ενώσεις σύνταξης

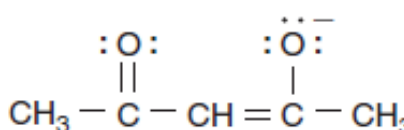
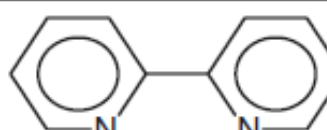
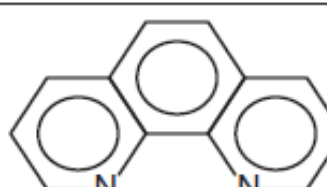
Αποσαφήνιση των βασικών όρων της θεωρίας του Werner στο παράδειγμα του συμπλόκου $\text{Pt}(\text{NH}_3)_6\text{Cl}_4$

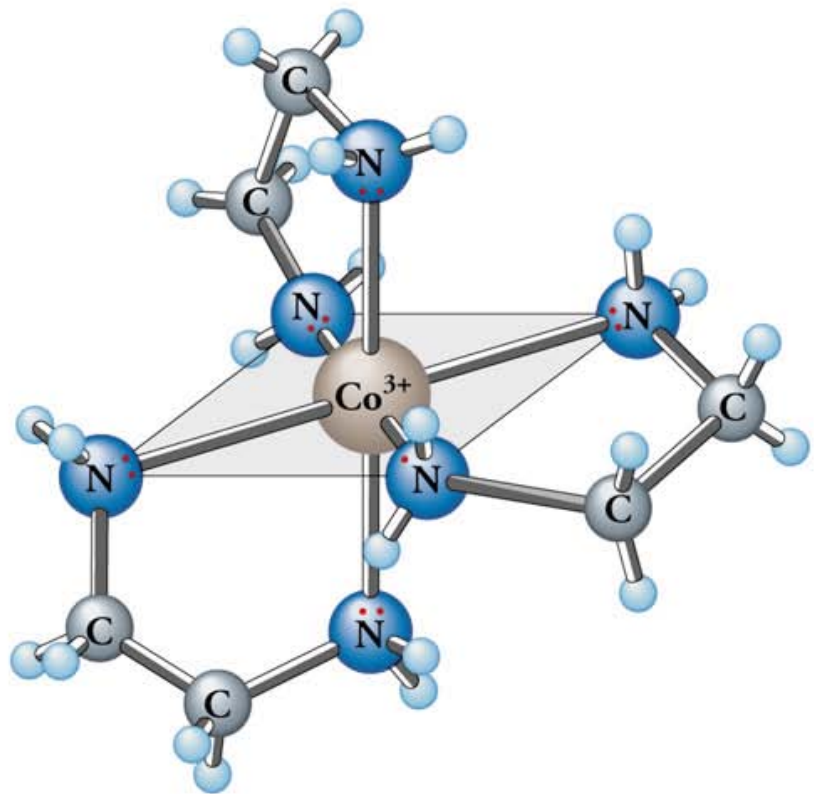


Υποκαταστάτης-ligand :

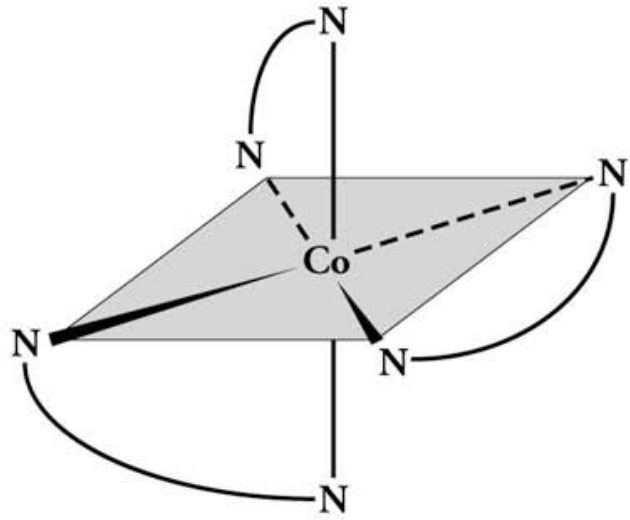
- ◆ μπορεί να είναι ιόν ή μόριο ή άτομο που ενώνεται με το κεντρικό μέταλλο
- ◆ Είναι βάση κατά Lewis και δίνει ηλεκτρόνια στο κεντρικό μέταλλο
- ◆ Ανάλογα με τον αριθμό των μονήρων ηλεκτρονίων οι υποκαταστάτες μπορεί να είναι **μονοδοντικοί** (συνδέονται με το μέταλλο με ένα δεσμό), **διδοντικοί....ή πολυδοντικοί**

Table 16.1 Some of the Most Common Ligands.

Group	Formula	Name
Water	H ₂ O	aqua
Ammonia	NH ₃	ammine
Chloride	Cl ⁻	chloro
Cyanide	CN ⁻	cyano
Hydroxide	OH ⁻	hydroxo
Thiocyanate	SCN ⁻	thiocyanato
Carbonate	CO ₃ ²⁻	carbonato
Nitrite	NO ₂ ⁻	nitrito
Oxalate	C ₂ O ₄ ²⁻	oxalato
Carbon monoxide	CO	carbonyl
Nitric oxide	NO	nitrosyl
Ethylenediamine	H ₂ NCH ₂ CH ₂ NH ₂	ethylenediamine
Acetylacetone		acetylacetonato
2,2'-Dipyridyl		2,2'-dipyridyl
1,10-Phenanthroline		1,10-phenanthroline

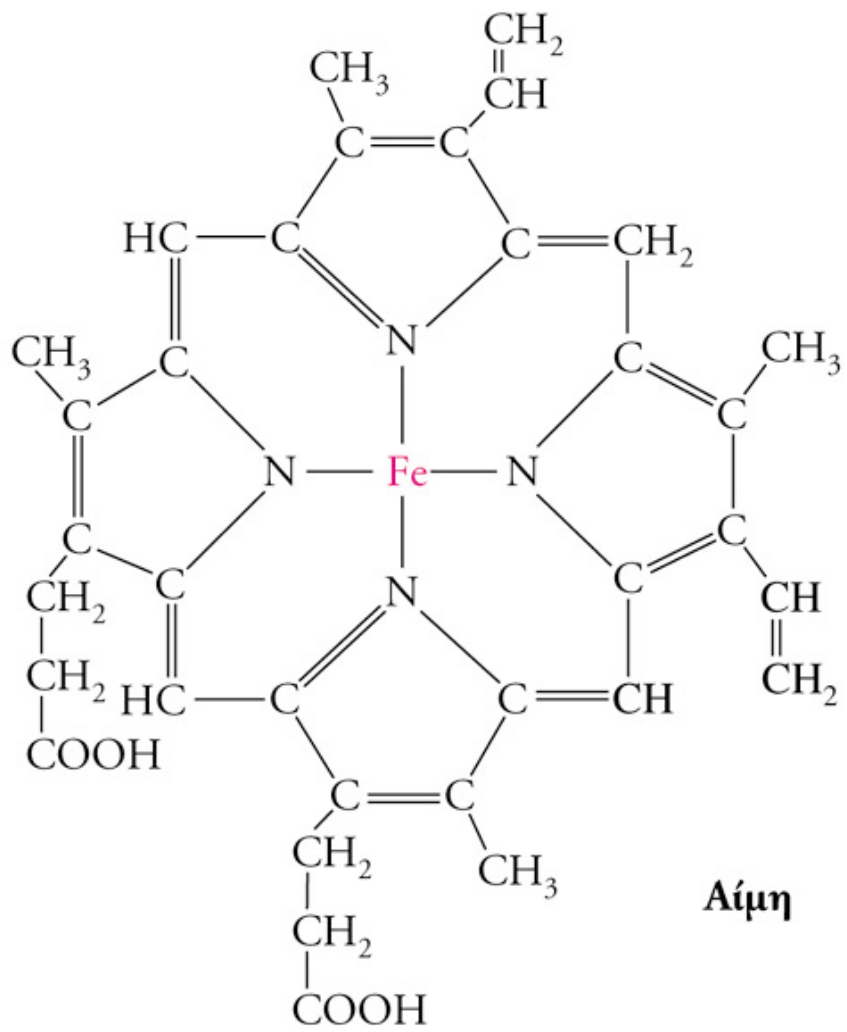


A

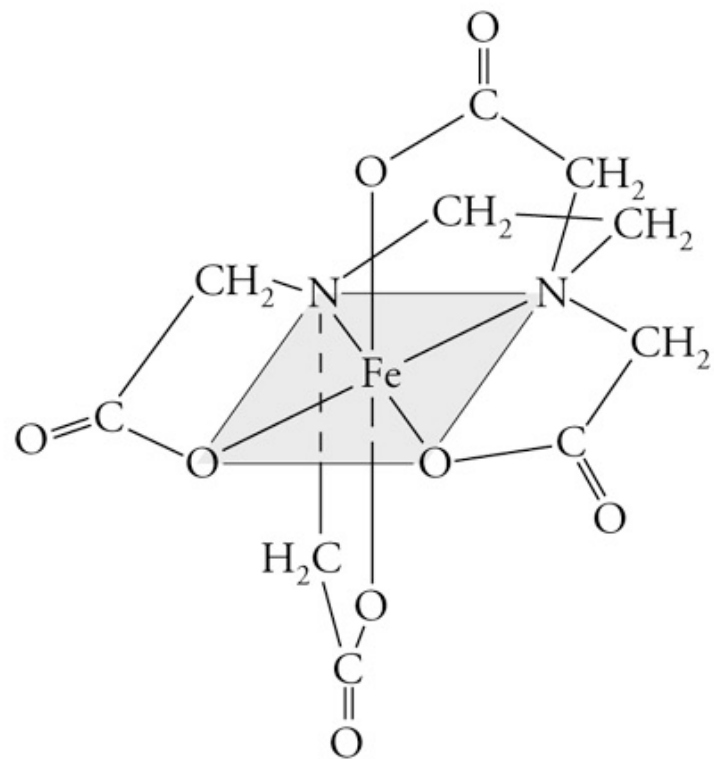


B

Γιατί είναι σταθεροί οι χηλικοί δακτύλιοι?



Αίμη

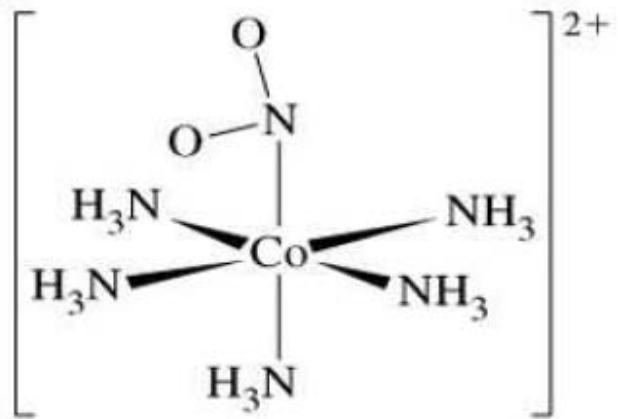


Σύμπλοκο του Fe^{2+} με EDTA

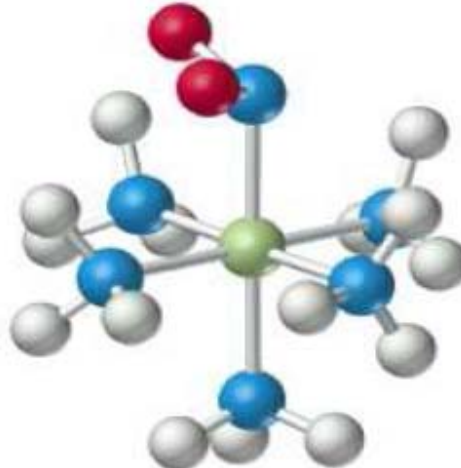
Ισομέρεια

Δομική ισομέρεια

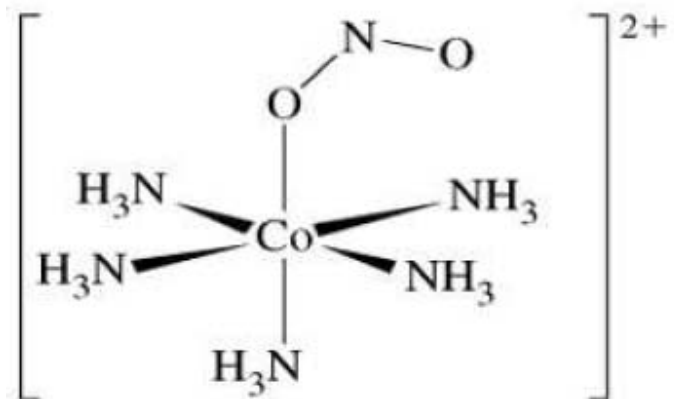
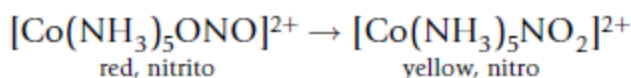
- Ορισμένα ligands συναρμόζονται με διαφορετικούς τρόπους δηλαδή το ligand μπορεί να συναρμοστεί με το μέταλλο με διαφορετικά άτομα δίνοντας την **ισομέρεια σύνδεσης**.
- Παράδειγμα: NO_2^- συναρμόζεται μέσω του N ή του O (π.χ. στο σύμπλοκο $[\text{Co}(\text{NH}_3)_5(\text{NO}_2)]^{2+}$ δύο σύμπλοκα είναι πιθανά
- Όταν ενώνεται μέσω του N ονομάζεται –νιτρο (nitro).
 - Πενταάμινο νίτρο κοβάλτιο (III) και είναι κίτρινο
- όταν ONO^- συναρμόζεται μέσω του O ονομάζεται νιτριδο.
- Πενταάμινο νιτριδοκοβάλτιο (III) και είναι κόκκινο



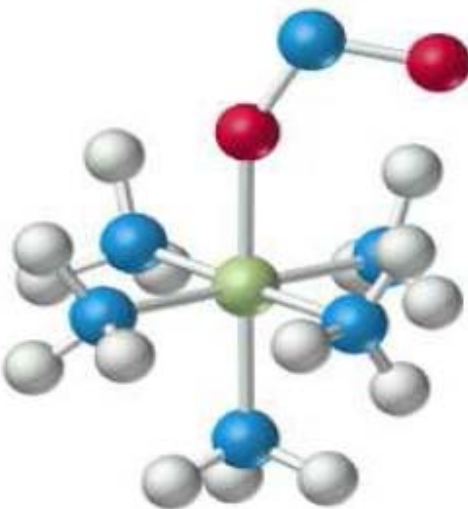
(a) $[Co(NO_2)(NH_3)_5]^{2+}$



Χλωρίδιο του πεντααμμινο-
νιτροκοβαλτίου(ΙΙΙ)
 $[Co(NH_3)_5(NO_2)]Cl_2$



(b) $[Co(ONO)(NH_3)_5]^{2+}$



Χλωρίδιο του πεντααμμινο-
νιτριτοκοβαλτίου(ΙΙΙ)
 $[Co(NH_3)_5(ONO)]Cl_2$

Υποκαταστάτες ικανοί για ισομερή σύνδεσης:

NO_2^- – NO_2 (νιτρο),

– ONO (νιτριτο)

CN^- – CN (κυανο),

– NC (ισοκυανο)

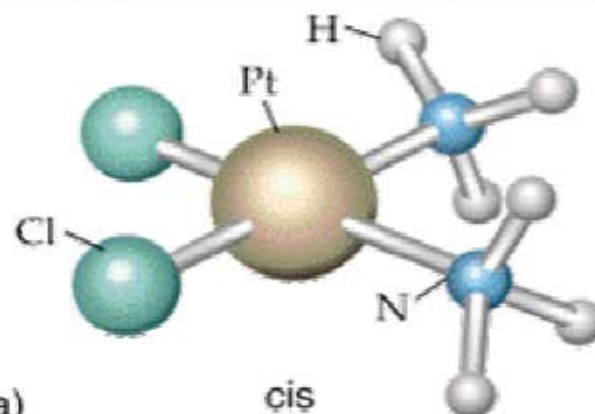
SCN^- – SCN (θειοκυανατο), – NCS (ισοθειοκυανατο)

Γεωμετρική ισομέρεια

Επίπεδα τετραγωνικά

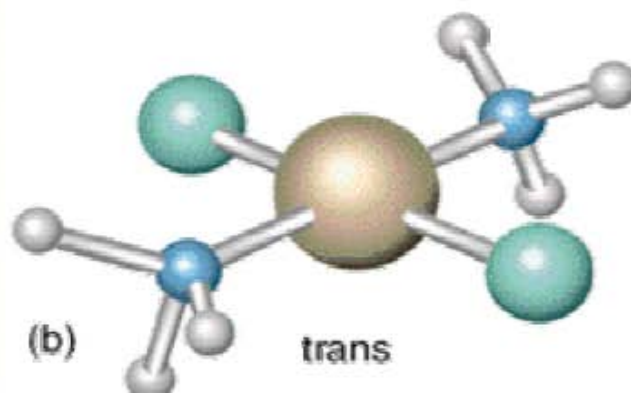
Cis-trans ισομέρεια

Γωνία 90°



(a)

Γωνία 180°

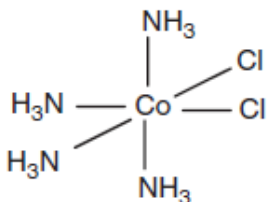


(b)

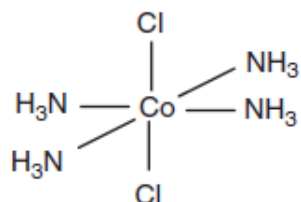
Χρησιμοποιείται στη
χημειοθεραπεία

	<i>cis</i>	<i>trans</i>
Μοντέλο σφαίρας-ράβδου		
Συντακτικός τύπος	$\begin{array}{c} \text{Cl} & & \text{NH}_3 \\ & \diagdown \quad \diagup & \\ & \text{Pt} & \\ & \diagup \quad \diagdown & \\ \text{Cl} & & \text{NH}_3 \end{array}$	$\begin{array}{c} \text{Cl} & & \text{NH}_3 \\ & \diagdown \quad \diagup & \\ & \text{Pt} & \\ & \diagup \quad \diagdown & \\ \text{H}_3\text{N} & & \text{Cl} \end{array}$
Χρώμα	Πορτοκαλοκίτρινο	Ωχροκίτρινο
Διαλυτότητα	0,252 g/100 g H ₂ O	0,037 g/100 g H ₂ O

MX₂Y₂

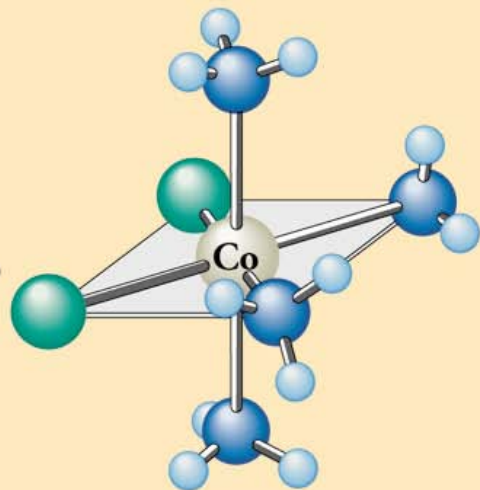


Cis (violet)

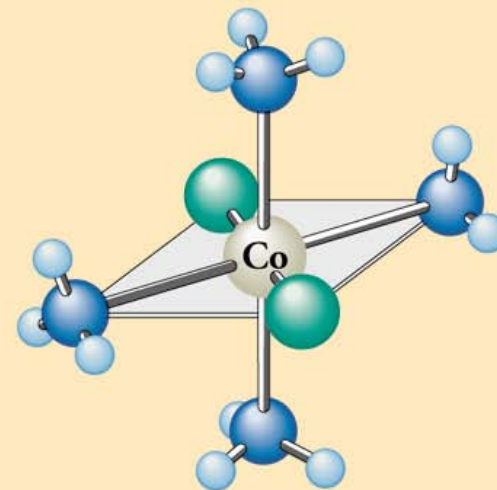


Trans (green)

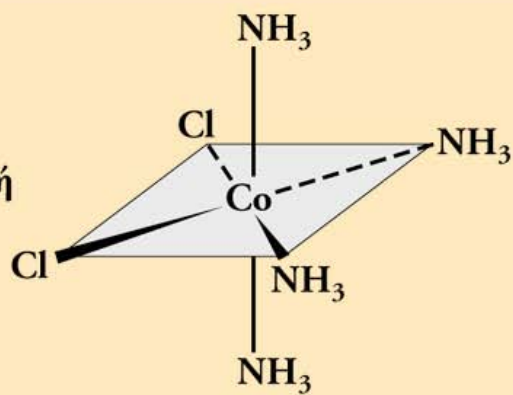
cis



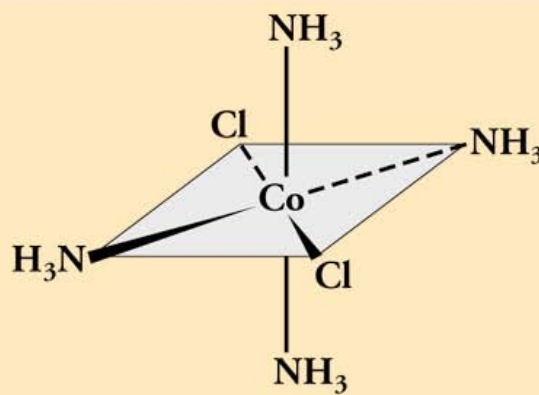
trans



Μοντέλο
σφαίρας-ράβδου



Συντομογραφική
απεικόνιση



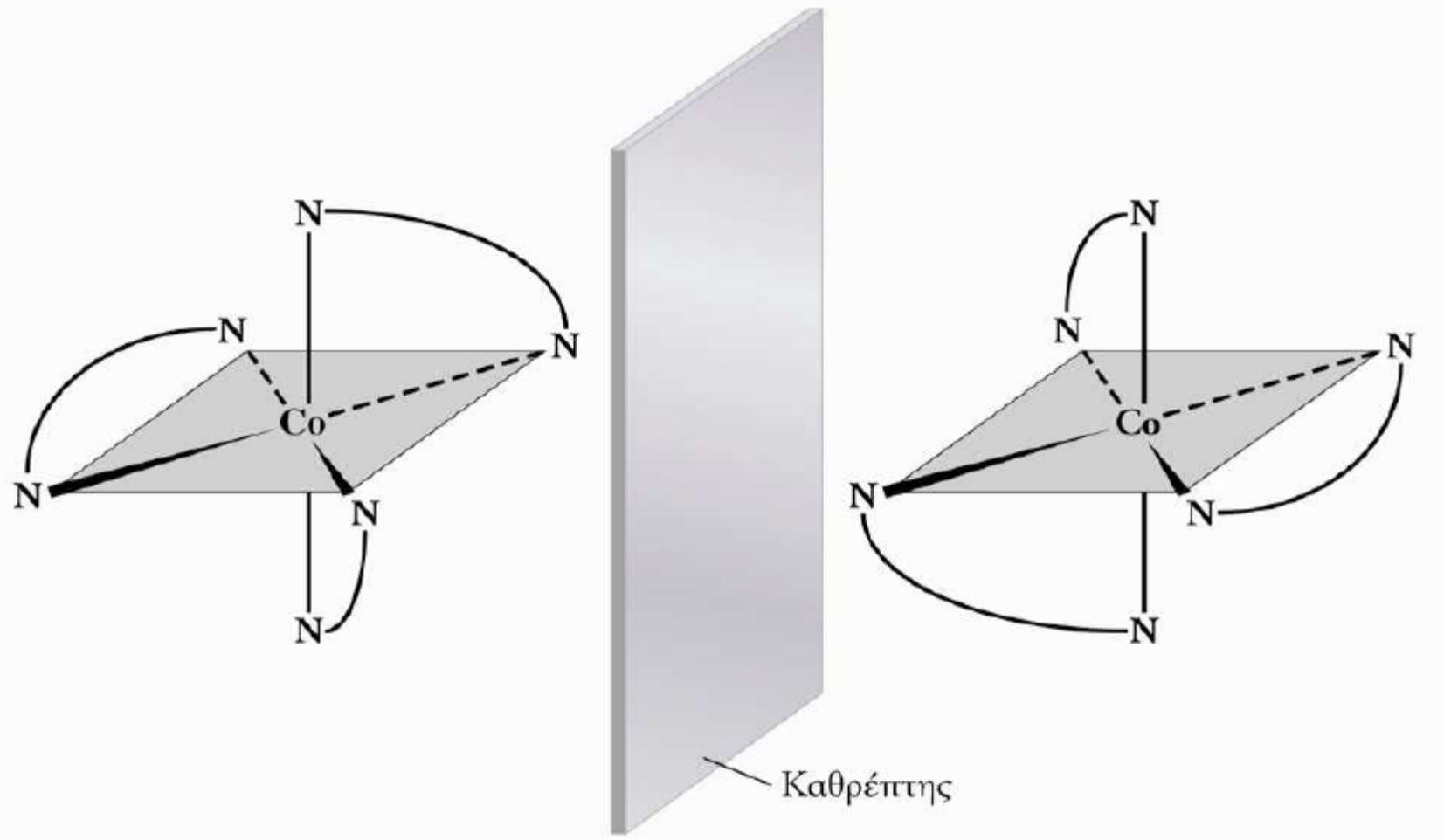
MX₄Y₂

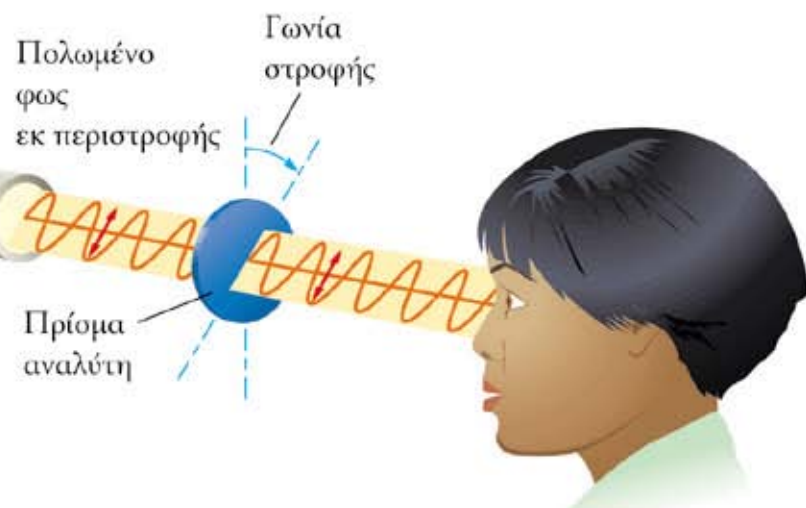
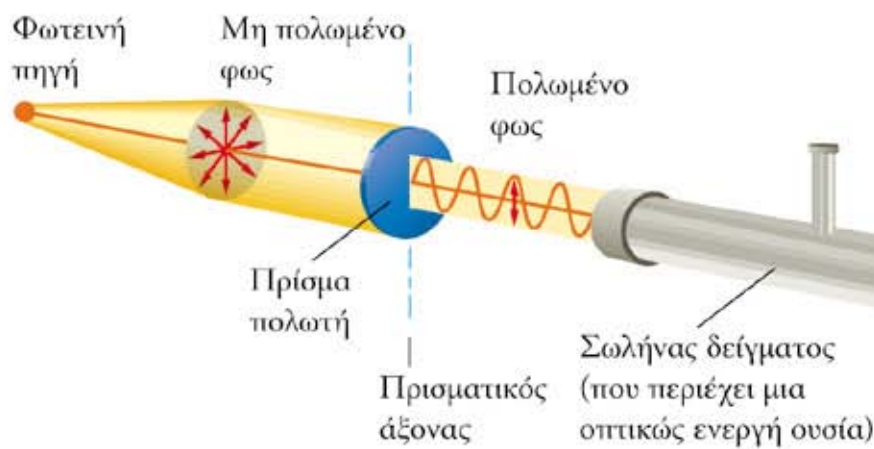
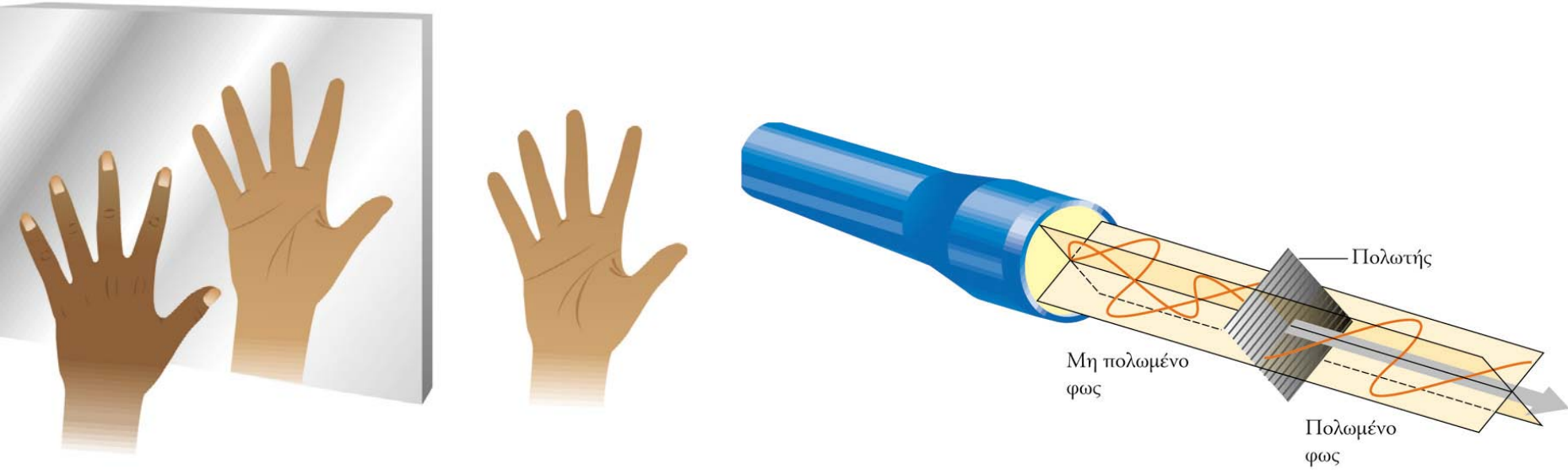
Χρώμα

Πορφυρό

Πράσινο

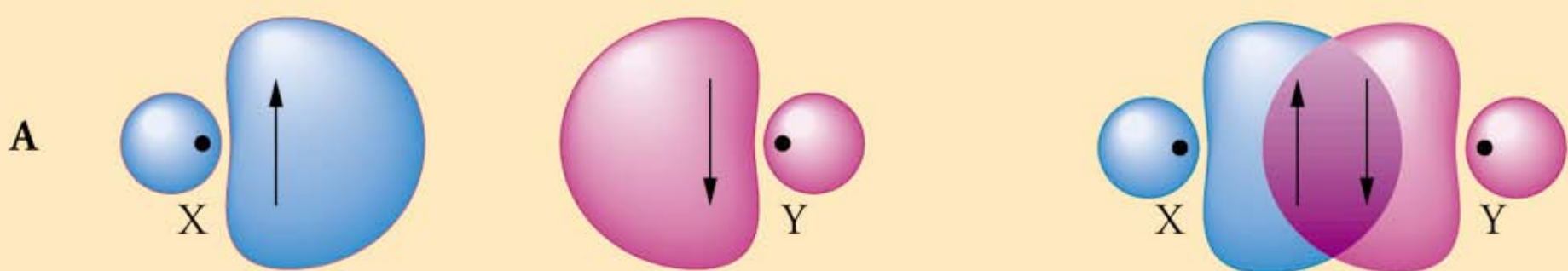
Οπτικά ισομερή



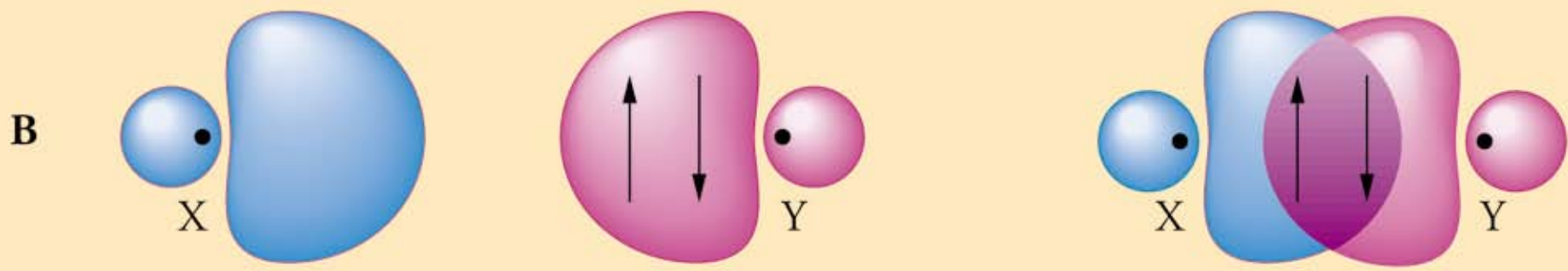


Η θεωρία του δεσμού σθένους στα σύμπλοκα

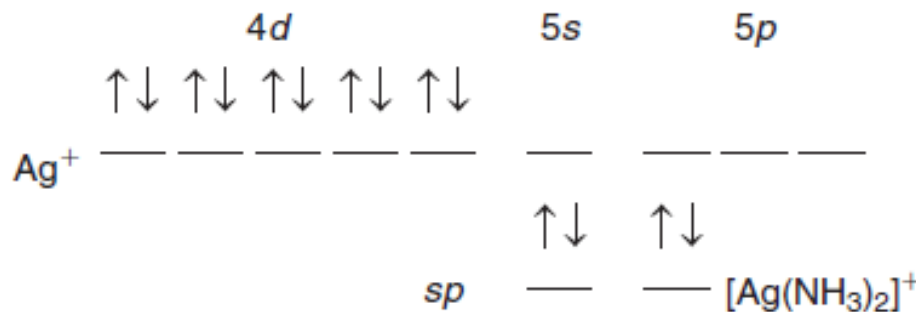
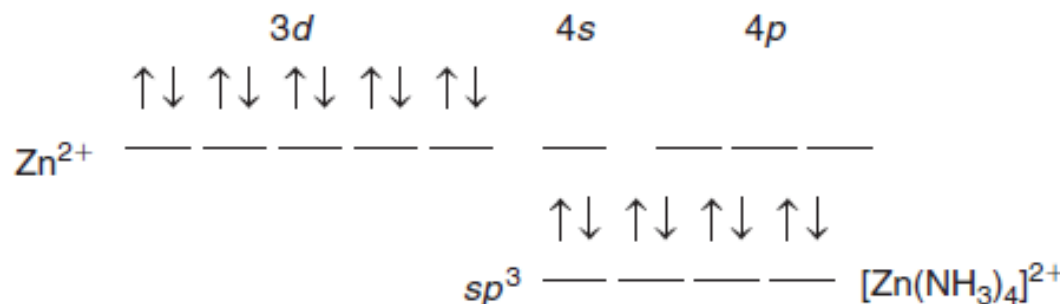
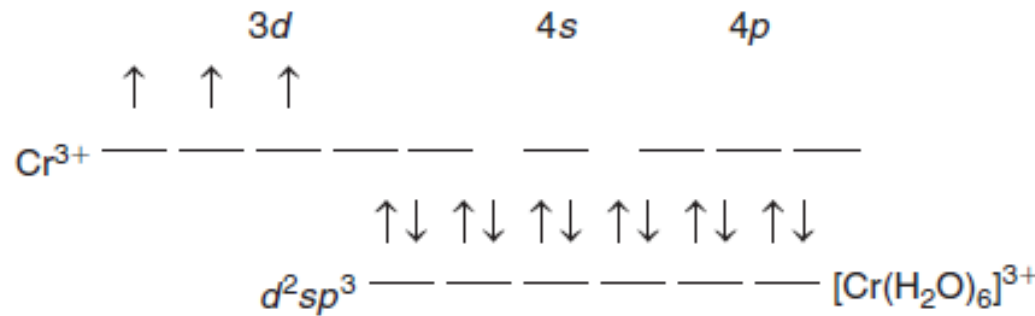
Πριν από τον
σχηματισμό δεσμού

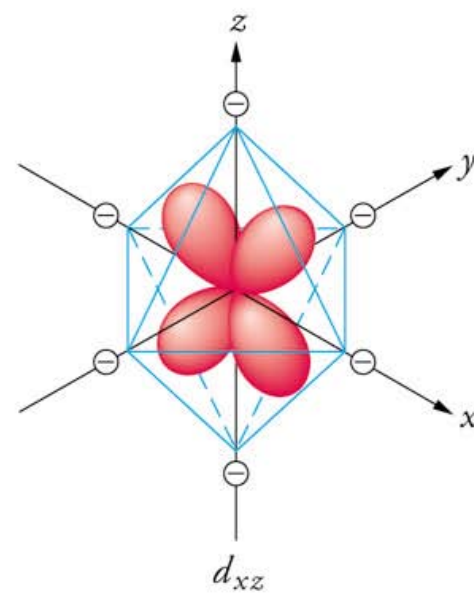
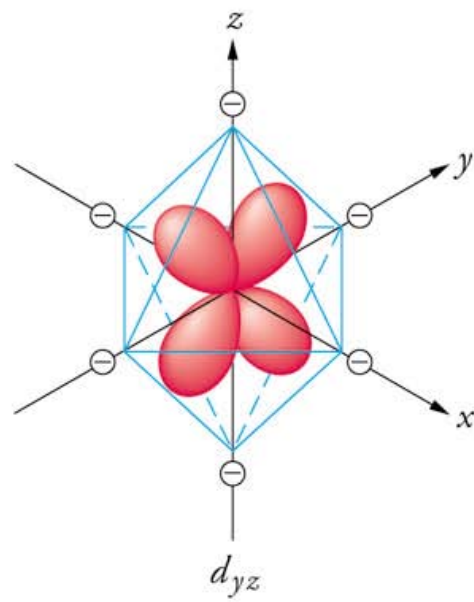
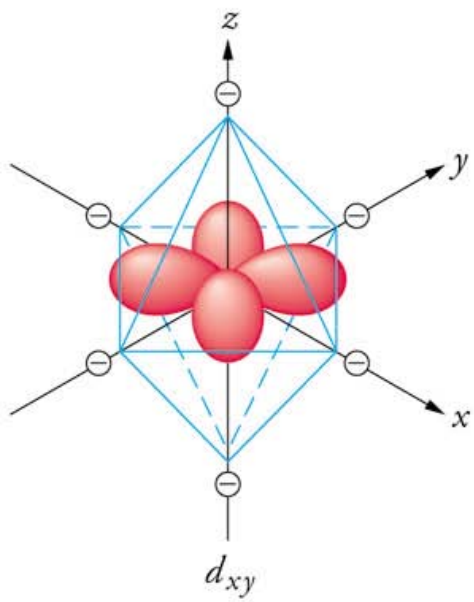
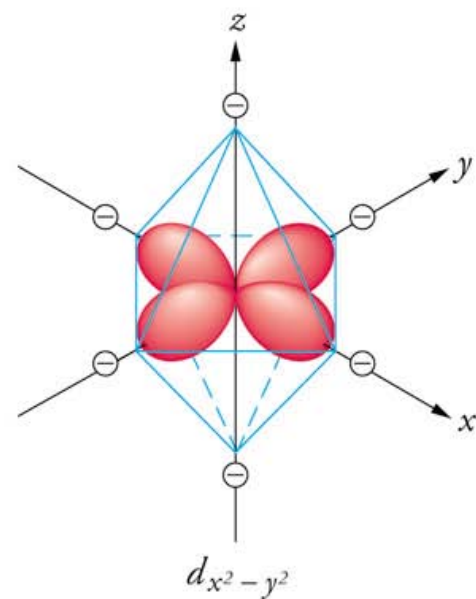
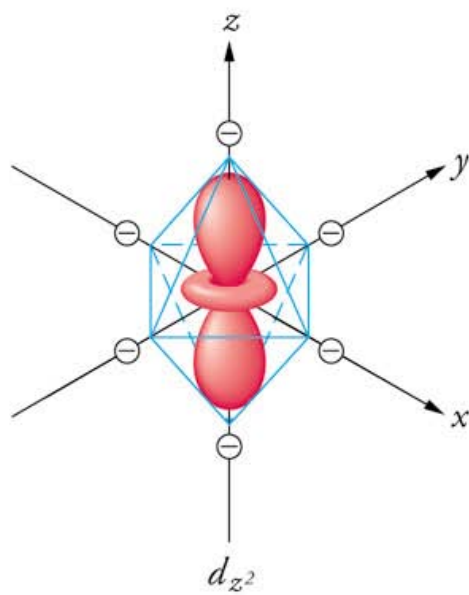


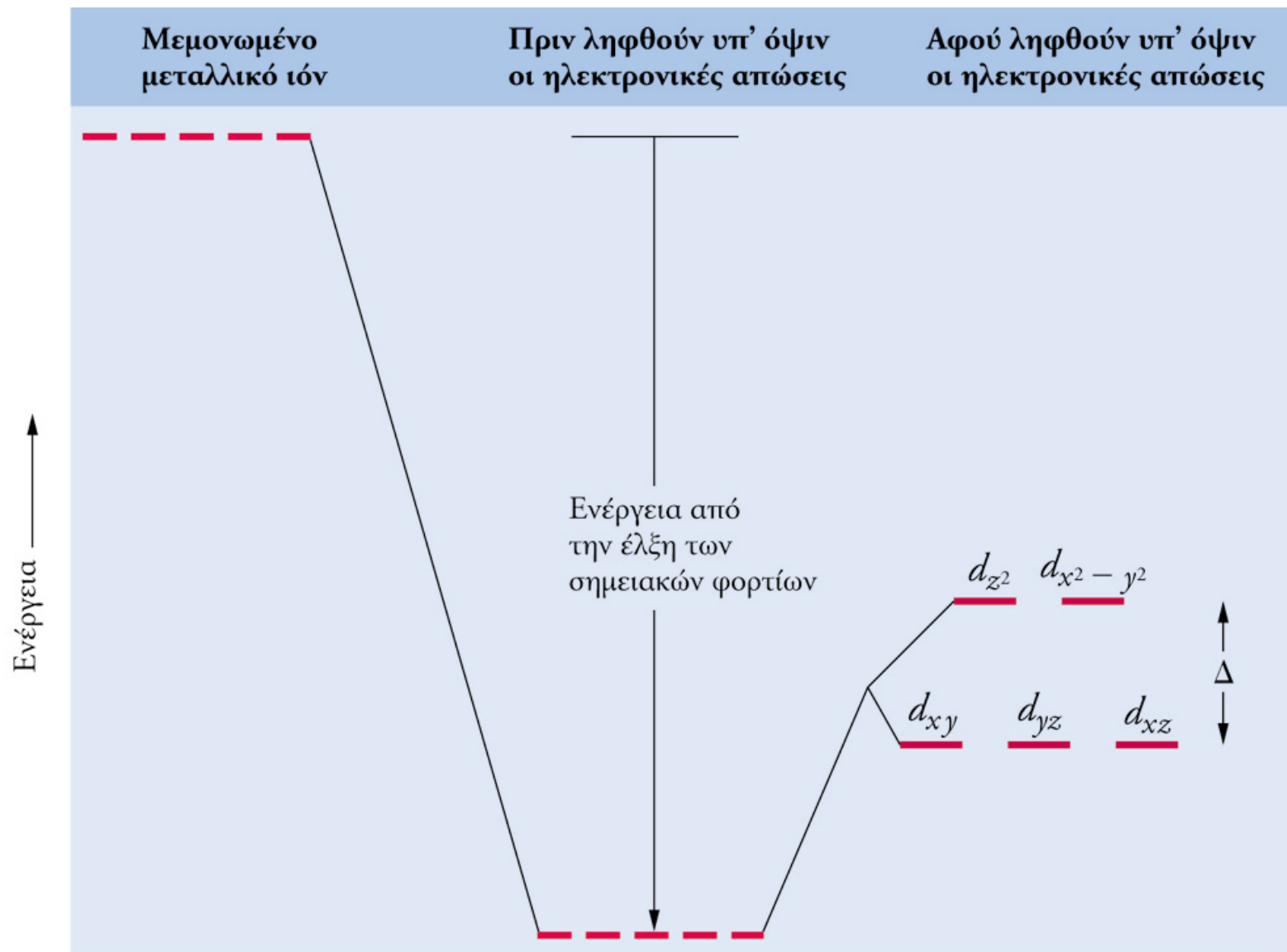
Μετά από τον
σχηματισμό δεσμού



B

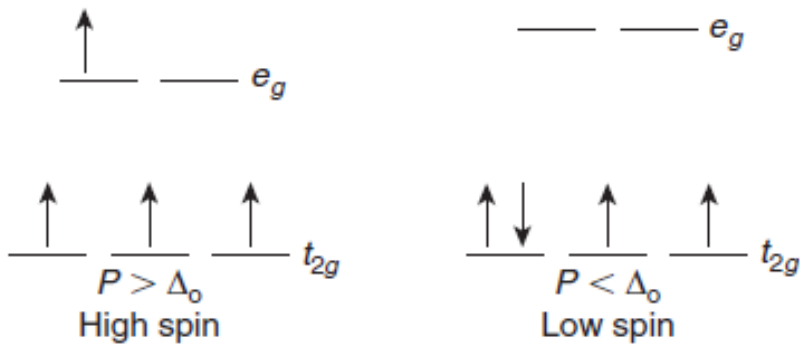
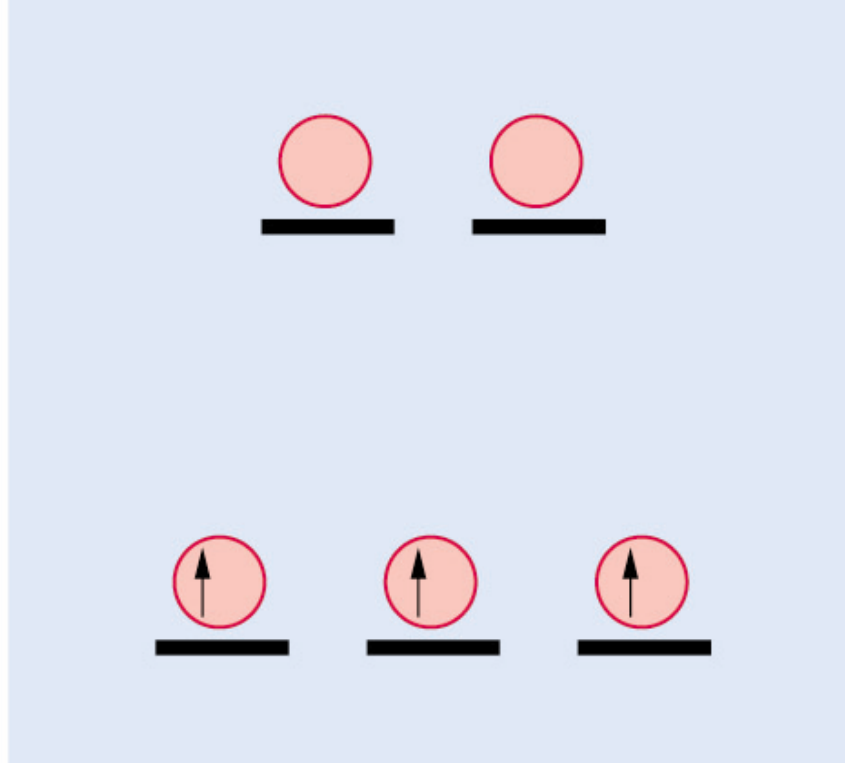






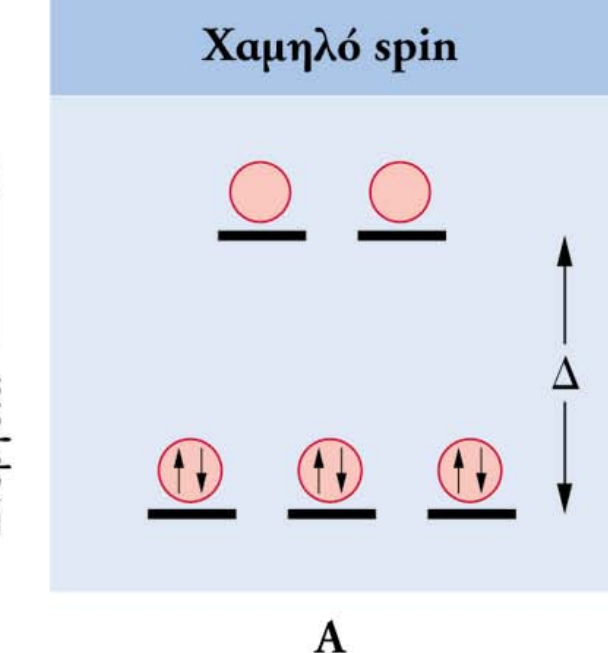
Ενέργεια

Ενέργεια

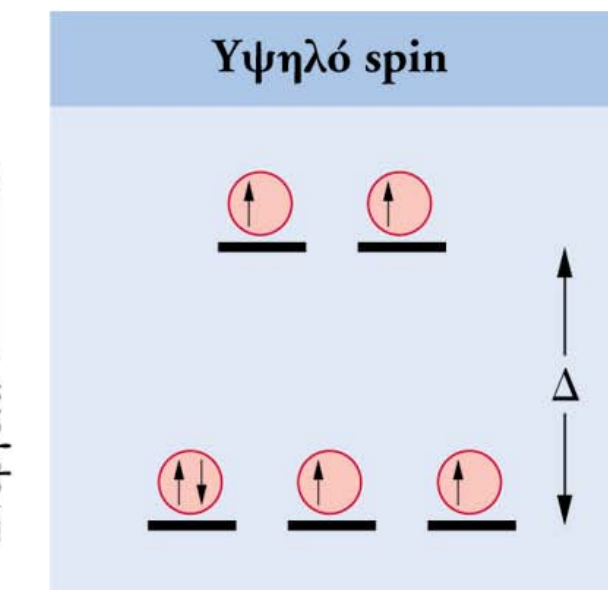


Crystal field splitting energy compared to the electron pairing energy.

Χαμηλό spin



Υψηλό spin

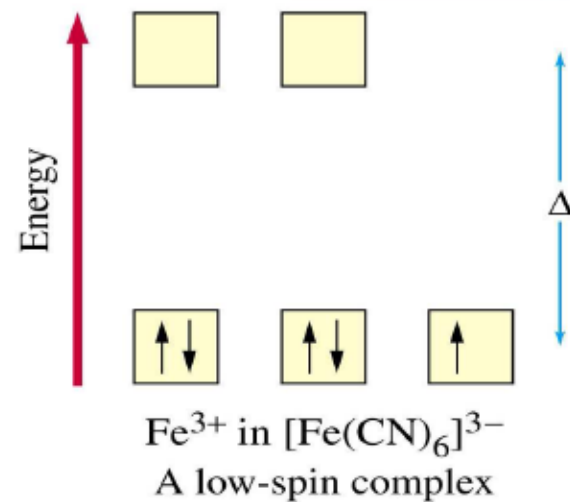
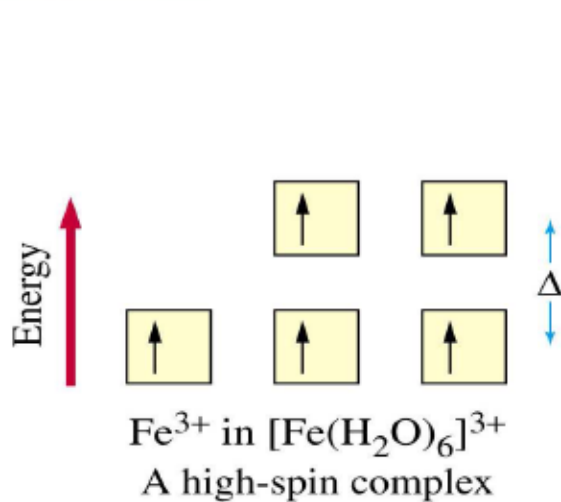


B

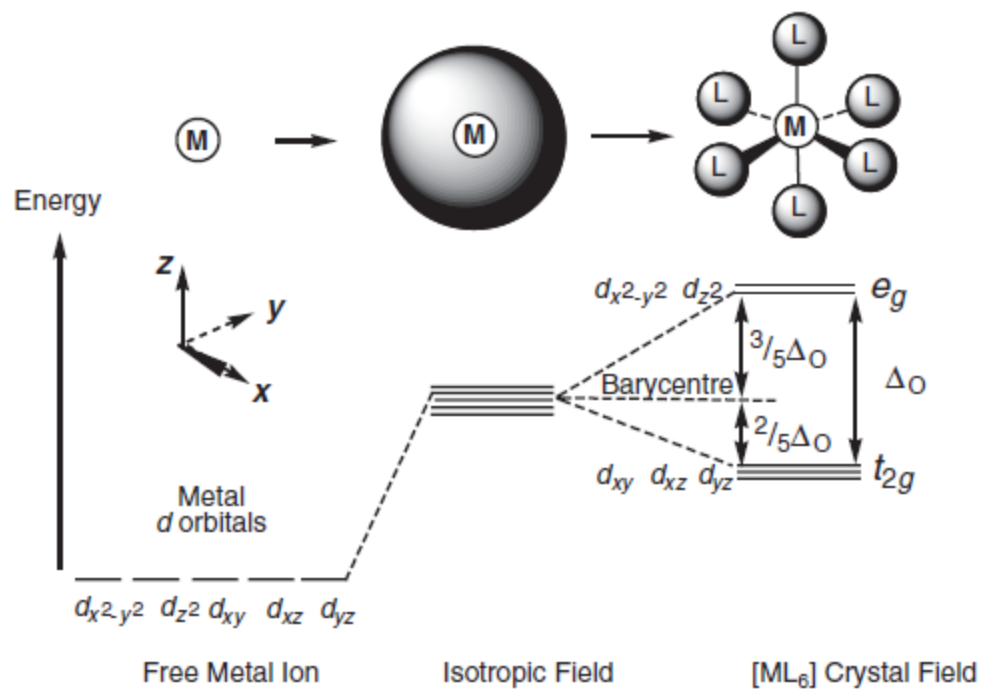
Δεσμοί στίς σύμπλοκες ενώσεις: Θεωρία κρυσταλλικού πεδίου

Η **φασματοχημική σειρά** δείχνει τη σχετική ικανότητα των ligands να διασπούν τα ενεργειακά επίπεδα των *d*-τροχιακών.

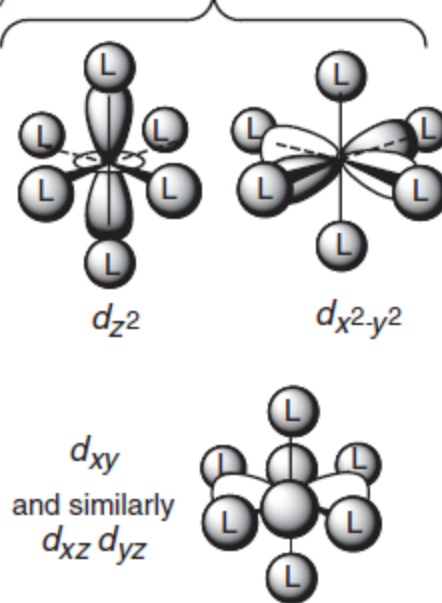
Field strength	Strong	Weak
	$\text{CN}^- > \text{NO}_2^- > \text{en} > \text{NH}_3 > \text{H}_2\text{O} > \text{OH}^- > \text{F}^- > \text{Cl}^- > \text{Br}^- > \text{I}^-$	
<i>d</i> -Level splitting, Δ	Large	Small

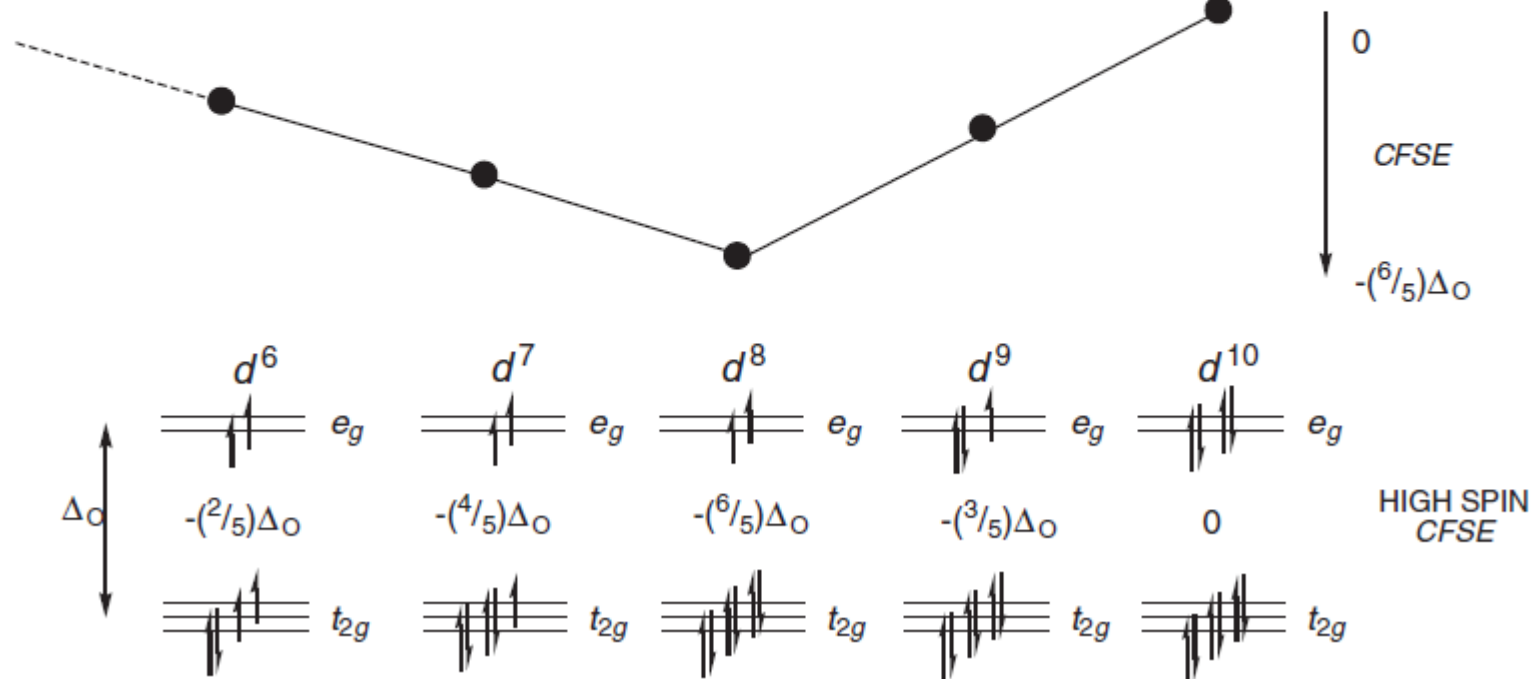
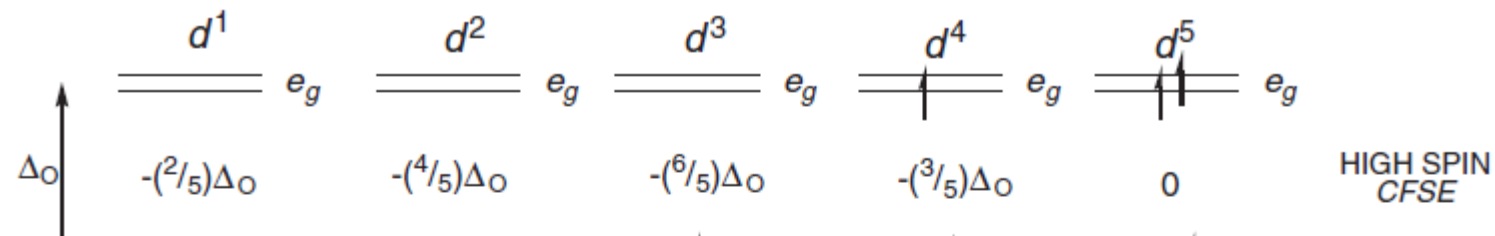


(a)

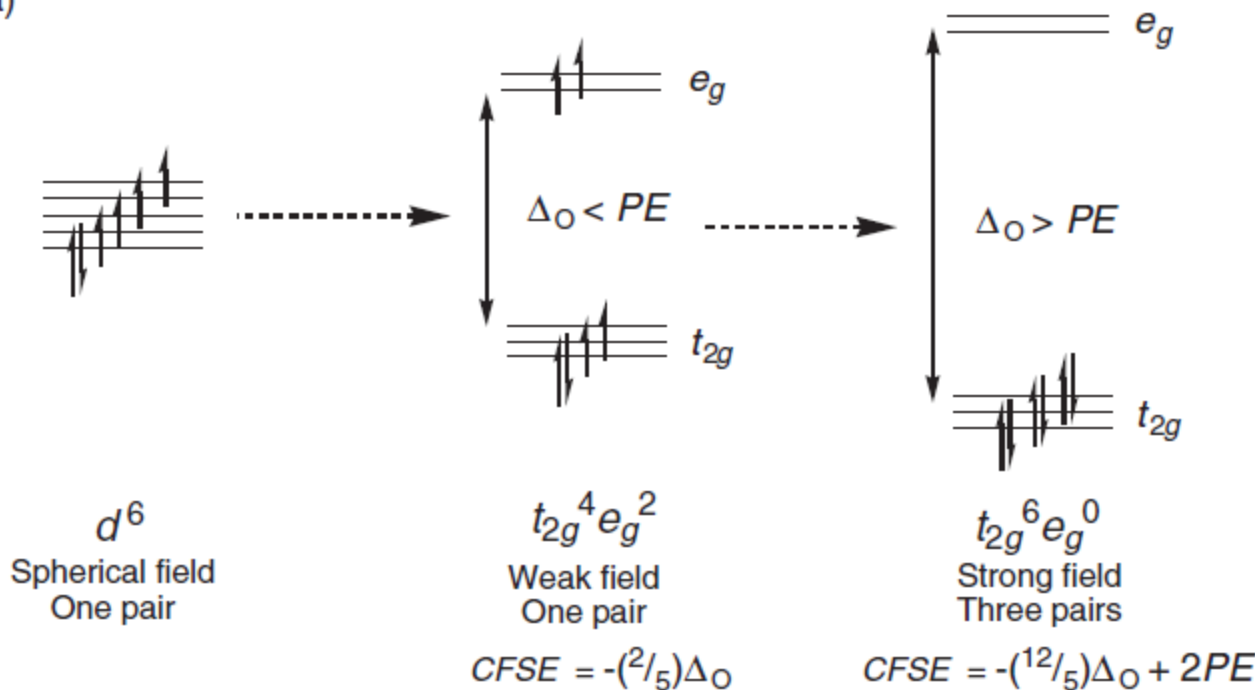


(b)

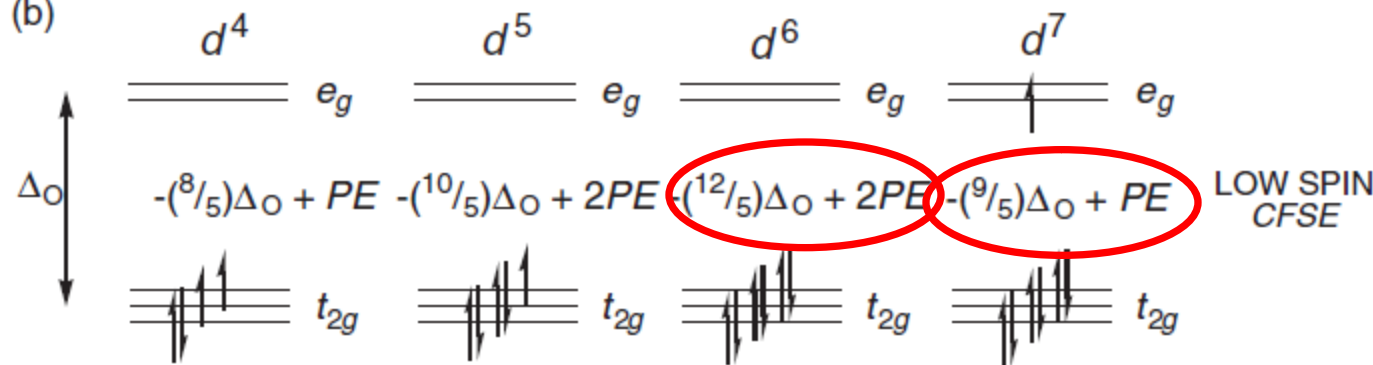




(a)

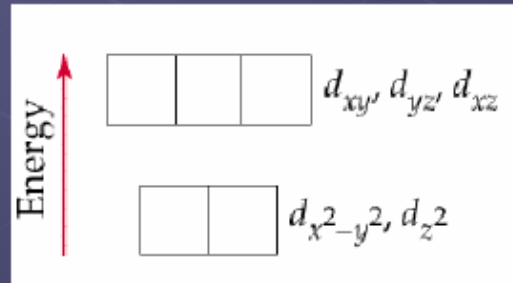
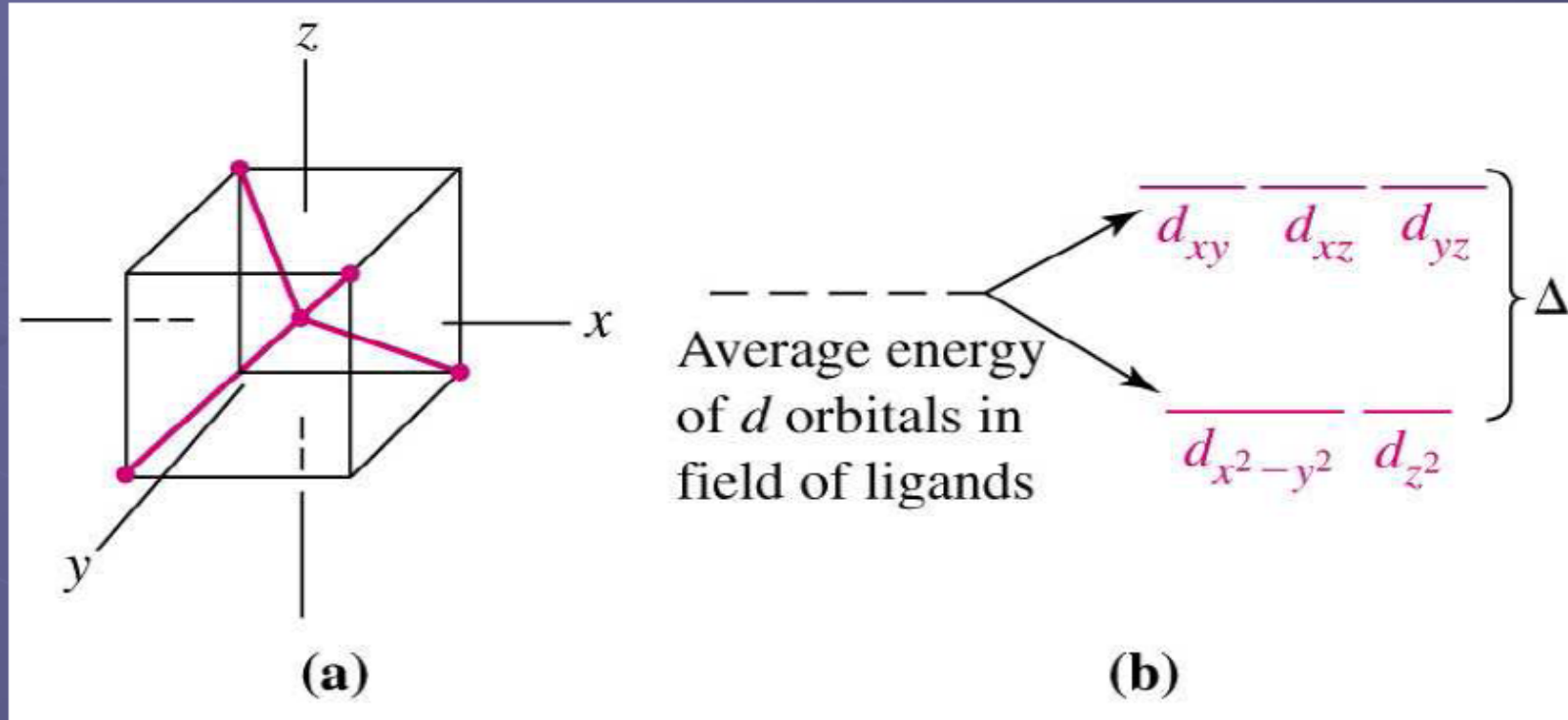


(b)



ΤΕΤΡΑΕΔΡΙΚΗ ΔΙΑΤΑΞΗ

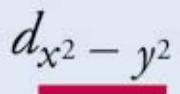
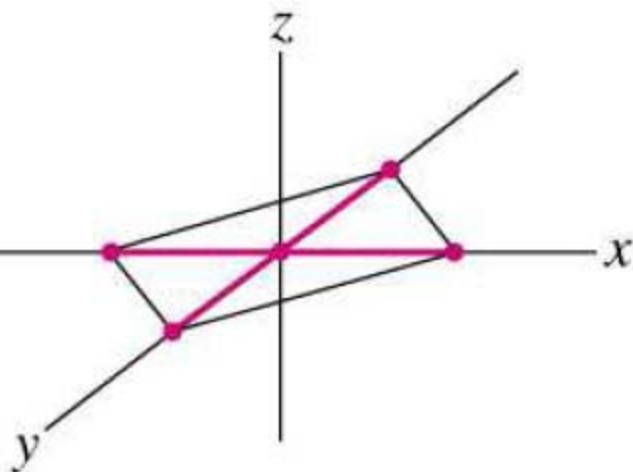
Έχουμε άροτη του εκφυλισμού των d τροχιακών



Η Δ είναι πιο μικρή και όλα
τα τετραεδρικά είναι
υψηλού σπιν

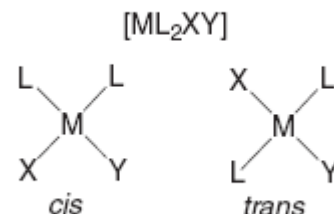
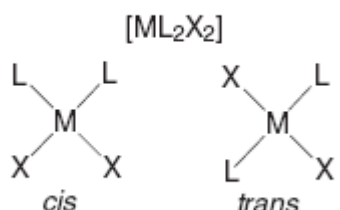
Επίπεδη τετραγωνική διάταξη

- Τα περισσότερα d^8 μεταλλικά ιόντα σχηματίζουν επίπεδα τετραγωνικά σύμπλοκα..
 - Η πλειοψηφία των συμπλόκων είναι χαμηλού spin.
 - Pd²⁺, Pt²⁺, Ir⁺, Au³⁺.

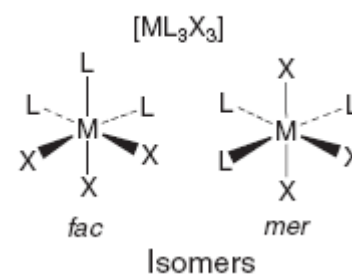
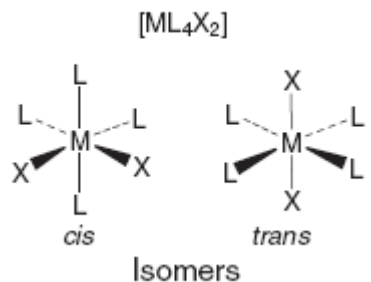


CO-ORDINATION			CO-ORDINATION				
NUMBER	GEOMETRY	POLYHEDRON	NUMBER	GEOMETRY	POLYHEDRON		
2	Linear		Uncommon: found mainly with d^{10} metal ions	7	Pentagonal Bipyramid		Uncommon
3	Trigonal Plane		Rare	7	Monocapped Octahedron		Uncommon
4	Square Plane		Common for d^8 metal ions otherwise unusual	8	Dodecahedron		Most sterically efficient geometric arrangement for 8 equivalent ligands
4	Tetrahedron		Common for d^{10} and some d^5 ions	8	Square Antiprism		Uncommon
5	Trigonal Bipyramidal		Rare	8	Cube		Rare found only with the largest metal ions
5	Square Pyramid		Rare	8	Hexagonal Bipyramidal		Quite common for 8-coordinate complexes of metals with trans-dioxo ligands i.e. $\{\text{O}=\text{M}=\text{O}\}^{z+}$
6	Octahedron		Very common: usually the most favoured energetically for d -block metal ions and gives the lowest ligand-ligand repulsions	LARGER CO-ORDINATION NUMBERS			
(Octahedron = Trigonal Antiprism)			An alternative view of an octahedron down a three fold rotation axis				
6	Tetragonal		A distorted octahedron elongated or flattened along one axis	9	Tricapped trigonal prism		Most regular co-ordination polyhedra
6	Trigonal Prismatic		Rare not normally favoured over octahedral	10	Bicapped square antiprism		
				11	Octadecahedron		
				12	Icosahedron		

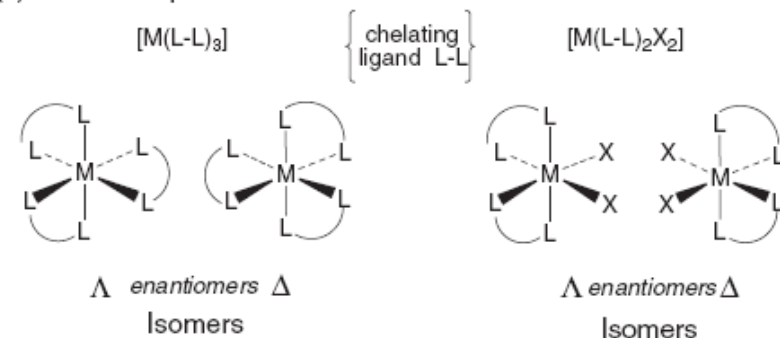
(a) Square Planar



(b) Octahedral



(c) Chiral complexes



for $L-L = en$ or represent

(d) Chiral carbon centres

